

1. まえがき 一般に作用応力増分下で生じる要素の体積ひずみ増分 dV は等方応力成分(圧縮)に起因するもの dV_c とせん断応力成分に起因するものの(ダイレクシー-) dV_d との和として表示される。

$$dV = dV_c + dV_d \quad \text{--- (1)}$$

また、これは土要素の体積ひがみひが花かバラメータ、 $P = \frac{1}{3}(O_1 + 2O_2)$ 、 $Q = O_1 - O_2$ or
 $\eta = Q/P$ ($O_2 = 0.5$) の関数 $V = f(P, Q)$ or $V = f(P, \eta)$ であることを意味してある。
(2)

$$dV = \left(\frac{\partial V}{\partial P}\right)_g dP + \left(\frac{\partial V}{\partial g}\right)_P dg \quad (2)$$

$$dV = (\frac{\partial V}{\partial P})_T dP + (\frac{\partial V}{\partial T})_P dT \quad \text{--- (3)}$$

上式の右辺第1項と第2項目はそれぞれ(1)式の dV/dt と dV/dt に相当している。ここでは(2)式の右辺第2項目に着目し、植物性有機物を多量に含んでいるピート炭素)の体積変化特性、特にダイレクション特性について言及する。

2. 試料と試験 埼玉県大宮市郊外

ト分布しているピート地盤から採取した不規則試料を用いた。 \times の物理的性質は表-1に示してある。径5cm、高さ12.5cmに成形した円柱供試体を

三軸セル内で等方圧密した後、軸対称応力状態で次の4種類の三軸圧縮試験を実施した。

i) 等方壓縮試驗(IC-Test): $d\rho > 0, d\varphi = 0 \rightarrow d\rho = dU$

ii) 平均有效主应力一定試驗(P-Test);

$$dp=0, df>0 \longrightarrow dV=dV_d$$

(iii)側压一安排水試驗(CD-Test);

$$d\tilde{V_3} = 0 \quad (dp > 0, \quad dq > 0) \longrightarrow dV = dV_C + dV_A$$

iv)側压 - 是非排水試驗(CU-Test); $dV=0 \rightarrow dV_c = -dV_d$

3. 試験結果と考察 図1は応力増分を多段にピット構造を

図式化したものである。植物性有機物を母体としているビートは、有機物間等の间隙(マクロポア)に加えて有機物内に存在している间隙(ミクロポア)の変化に伴て、体積変化という現象を生じる。そこで、ビートの间隙径分布をドロミーテ(水銀圧入式)を用いて測定した結果が図2, 3に示してある。図2は自然地盤から採取した結果である。大粒ビートの间隙径はおおむね $100\sim104\text{ }\mu\text{m}$ と $1\sim0.1\text{ }\mu\text{m}$ 付近のものに大別できる。前者は有機物間等のマクロポアの间隙径に、後者は有機物内に存在しているミクロポアの间隙

Sample:	Undisturbed Chmiya peat (V-Sample)
Natural water content Wn(%)	350-900
Specific gravity Gp	1.96-2.12
Ignition loss Lig(%)	10-80
Degree of humification H(%)	45-53
Degree of saturation Sr(%)	100
Liquefied limit L.L.(%)	-
Plastic limit P.L.(%)	-

Table -1

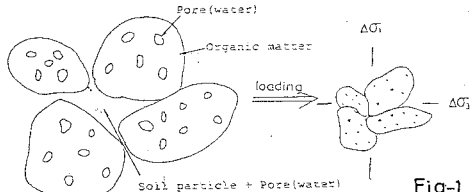


Fig-1

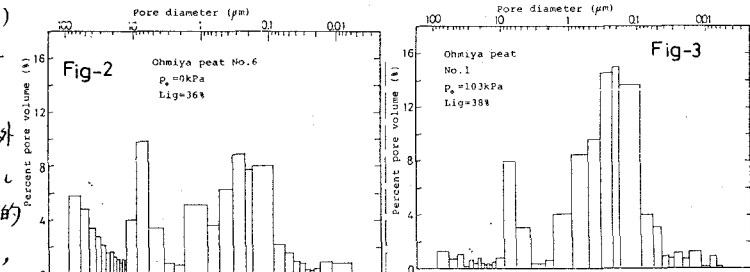
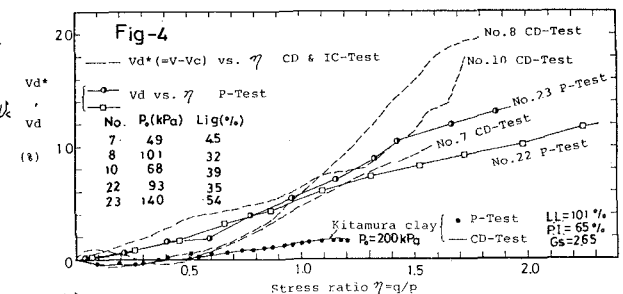


Fig-3



径に主体的に対応しているものと推察される。また三軸せん入れで103kPaの等方圧力下で圧密された後の間隙径分布(図3)は100~10μmのものがほとんど消失し、1~0.1μm附近的ものに集中する傾向が認められ、従觀的にピートの高压縮性という特徴が想えらうとしている。

土のダイレイクンシー特性は一般に次の三つの方法のいずれかによつて得られた結果に基づいて論じられる。

i) 直接ダイレイクンシー量が測定されるP-Test結果から

$$V_d = \bar{V}_d$$

ii) CD-TestとIC-Test結果の組み合せから

$$V_d^* = \bar{V}_d^*$$

iii) CU-Test結果によるダイレイクンシー相当量から

$$V_d = \bar{V}_d$$

ii), iii)では体積ひずみの重ね合せ、(i)式が成立することを、さらにiii)は間隙水圧発生と体積変化とは表裏一体の関係にあることを前提としている。

ピートのP-Testによる $V_d - \eta$ 関係が図4(No.22とNo.23)に示してある。粘性土と同様に $V_d - \eta$ 関係は直線近似($V_d = \mu\eta$, μ : ダイレイクンシー係数)ができることがわかる。

また同図には体積ひずみの重ね合せの原理がピートにも適用できることが、上述の

iii)による結果(図中の破線)をP-Testの結果

と照合することによって実証されてい。

ここにあつて、ピートの η は図5より次式にて近似される。

$$V_d = \frac{e_0}{1+e_0} \left\{ 1 - \left(\frac{P}{P_0} \right)^{\frac{1}{n}} \right\} \quad (4)$$

よつて $V_d^* = V_d - (V_d - V_c)$ は次式で表わされる。

$$V_d^* = V_d - \frac{e_0}{1+e_0} \left\{ 1 - \left(\frac{P}{P_0} \right)^{\frac{1}{n}} \right\} \quad (5)$$

ここに、 e_0, P_0 はせん断開始時の間隙比と正規圧力である。次にダイレイクンシー相当量(\bar{V}_d)を用いて、試料に含まれている有機物質量(L_i)を用いて、

の様態によつてダイレイクンシー特性がどのように推移するかを示したのが図6である。それとくの供試体の有機物含有量(L_i)の度合は比重(G_p)~ η 曲線上における位置にて図7に示してある。これより、ピートのダイレイクンシー特性は粘性土の延長線上に位置づけられ、巨視的には細粒性有機物の有無はダイレイクンシー係数 μ の増大にて捉えることができる。これを試験結果は示している。しかし粘性土の挙動と大きな異なはるは正規圧力(P_0)依存性である。図8($L_i = 70\%$)と図9($L_i = 30\%$)はこのことを示している。つまり正規圧力が高く有機物自身の圧縮がかなり早進している状態でせん断応力を受けるか否かによつて(図10)、以後のダイレイクンシー特性は二つに分れる傾向を示す。このことは、ピート要素の体積変化が有機物量に依存するかめる心力(図10の ΔP)を境として、有機物間の間隙(マクロ孔)変化に起因するものへとその主体が大きく移行することを示唆している。

(謝辞) ピートの間隙径測定において本研究科学生平松ニ尉の多方な援助を受けた記して謝意を表す。

(参考) i) 岩田(1963); 京大防研年報, 第6号, pp.128~134.

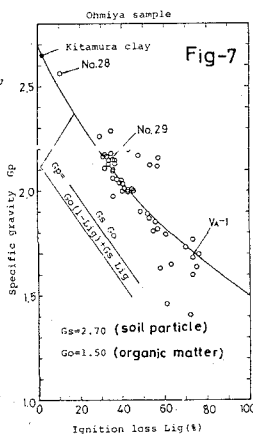


Fig-7

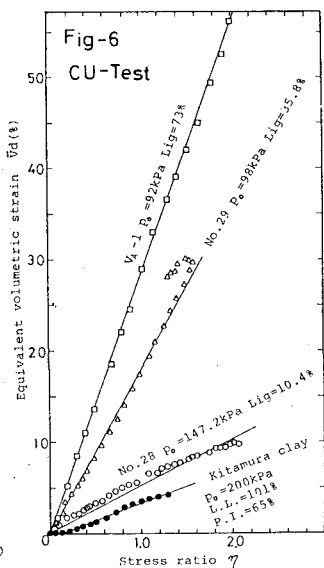


Fig-6
CU-Test

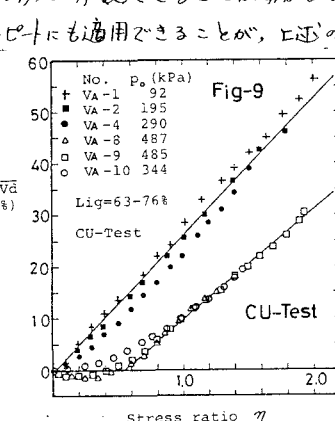


Fig-9

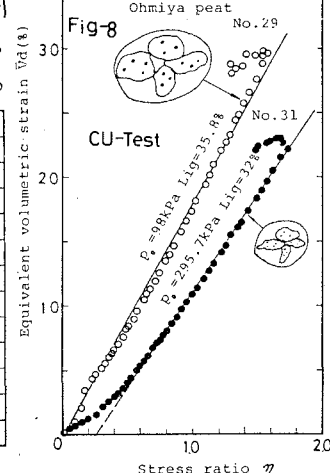


Fig-8
Ohmiya peat
No.29

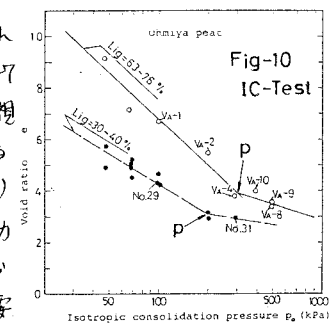


Fig-10
IC-Test